

# 铽配合物 $\text{Tb}(\text{BA})_3\text{phen}$ 的有机电致发光

肖 静<sup>1</sup>, 邓振波<sup>1\*</sup>, 徐登辉<sup>1</sup>, 徐 颖<sup>1</sup>, 王瑞芬<sup>2</sup>

1. 北京交通大学光电子技术研究所,信息存储、显示与材料开放实验室,北京 100044  
2. 河北师范大学化学系,河北 石家庄 050091

**摘要** 合成了一类新型稀土配合物  $\text{Tb}(\text{BA})_3\text{phen}$ , 将其掺杂到导电聚合物 PVK 中获得了纯正、明亮的绿光发射。用这种掺杂体系分别制作了单层发光器件和双层器件。对于单层器件, 掺杂浓度为 1:5, 甩膜转速 1 000  $\text{r} \cdot \text{min}^{-1}$  时器件的发光效果最好, 起亮电压为 10 V, 最大亮度在 21 V 时可达  $26.8 \text{ cd} \cdot \text{m}^{-2}$ 。双层器件用 AlQ 作为电子传输层, 通过改变其厚度得到了发光性能较好的用 AlQ 作为电子传输材料的器件, 其最大亮度在 22 V 时可达  $322 \text{ cd} \cdot \text{m}^{-2}$ 。

**主题词** 稀土; 配合物; 电致发光

**中图分类号:** O641.4, O482.3    **文献标识码:** A

**文章编号:** 1000-0593(2005)10-1552-04

## 引言

自从 1987 年 Tang 等<sup>[1]</sup>发表了高效率、高亮度的双层结构器件以来, 有机薄膜电致发光(OTEL)因其驱动电压低、可制成大面积的平板显示等优点而成为当前显示器件研究的热点<sup>[2-4]</sup>。通常所用的有机小分子或聚合物材料的发射光谱半宽度可达 100~200 nm, 很难获得单色发光, 常采用滤光等方法来获得单色发光, 因而会大大降低器件的效率<sup>[5]</sup>。而稀土离子却具有尖锐的发光峰(发射光谱半宽度只有 4 nm)<sup>[6]</sup>, 1993 年 Kido 等<sup>[7]</sup>报道了具有稀土窄谱带的绿色发射有机电致发光器件以来, 以稀土配合物为发光材料的电致发光引起了人们的广泛兴趣。本文用铽配合物  $\text{Tb}(\text{BA})_3\text{phen}$  作为发光材料制作了单、双层有机电致发光器件, 得到了较好的结果, 并就器件的发光特性、掺杂体系的能量传递进行了分析。

## 1 实验

### 1.1 材料的合成

将由铽的氧化物与盐酸作用自制的  $\text{TbCl}_3 \cdot 6\text{H}_2\text{O}$ 、苯甲酸(m-BA)和邻菲咯啉(phen)按 1:3:1 摩尔比分别称取, 并分别溶于适量 95% 的乙醇中。用 1 mol·L<sup>-1</sup> 的 NaOH 水溶液将 m-BA 的乙醇水溶液的 pH 值调制至 6~7, 将 phen 的乙醇溶液与之混合, 并将此混合溶液滴加到  $\text{TbCl}_3 \cdot 6\text{H}_2\text{O}$

的乙醇溶液中, 且不断搅拌, 体系中有白色沉淀生成, 搅拌 2 h。静置过夜, 抽滤, 用 95% 乙醇溶液洗涤 3 次, 干燥得到白色粉末。经元素分析和单晶结构分析确定这种配合物的组成为  $\text{Tb}(\text{BA})_3\text{phen}$ 。

### 1.2 器件的制备

所用材料的分子式与器件的结构如图 1。用聚乙烯咔唑(PVK)作为空穴传输材料, 8-羟基喹啉铝(AlQ)作为电子传输材料, 铪配合物  $\text{Tb}(\text{BA})_3\text{phen}$  为发光材料, LiF 为电极修饰材料, 制备了单、双层有机电致发光器件: (1)Glass/ITO/PVK:  $\text{Tb}(\text{BA})_3\text{phen}/\text{Al}$ ; (2) Glass/ITO/PVK:  $\text{Tb}(\text{BA})_3\text{phen}/\text{AlQ}/\text{LiF}/\text{Al}$ 。

把  $\text{Tb}(\text{BA})_3\text{phen}$  和 PVK 分别溶于氯仿中, 配成浓度分别为 3, 10 mg·mL<sup>-1</sup> 溶液, 把  $\text{Tb}(\text{BA})_3\text{phen}$  的氯仿溶液旋涂于石英玻璃上成膜, 并用 SPEX Flouolog-3 光谱仪测得它的发射光谱(见图 2)。在制备器件 1 时, 分别取铽的配合物溶液和 PVK 溶液 0.4 和 0.6 mL, 制成质量比为 1:5 的混合溶液旋涂于清洁过的 ITO 玻璃(方块电阻为 20 Ω)上成膜, 甩膜机的转速控制在 1 000  $\text{r} \cdot \text{min}^{-1}$ , 然后在真空度为  $3.0 \times 10^{-3}$  Pa 下通过热蒸发的方式在发光层的上面蒸镀背电极 Al(150 nm), 蒸镀速率控制在约 2 nm·s<sup>-1</sup>。对于器件 2, 甩膜后在真空度为  $3.0 \times 10^{-3}$  Pa 下依次蒸镀电子传输材料 AlQ, 电极修饰材料 LiF 和电极 Al, 蒸镀速率分别控制在约 0.1, 0.02 和 2 nm·s<sup>-1</sup>。通过改变 AlQ 的厚度, 在相同的真空度和蒸发速率下制得多个器件。用 SPEX Flouolog-3 光谱仪和 PR-650 亮度计分别测量器件的电致发光光谱和发光亮度。

收稿日期: 2004-05-16, 修订日期: 2004-09-26

基金项目: 国家自然科学基金(90201004), 北京科技计划项目和河北省自然科学基金(203148)资助

作者简介: 肖 静, 女, 1979 年生, 北京交通大学光电子技术研究所硕士研究生    \* 通讯联系人

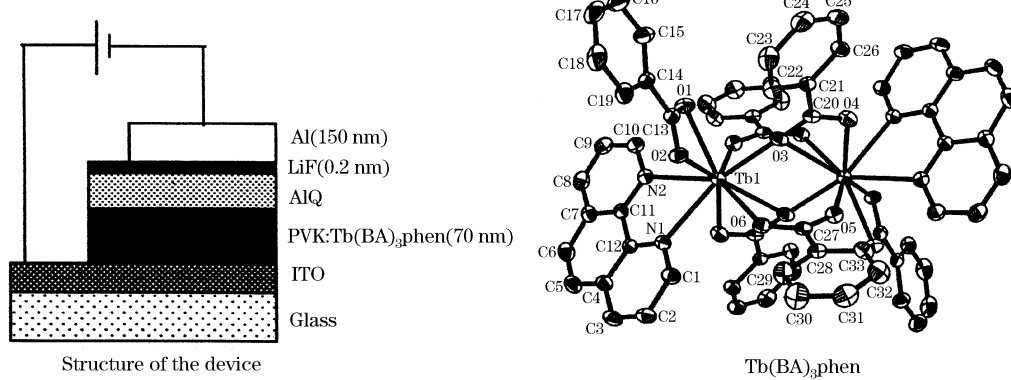
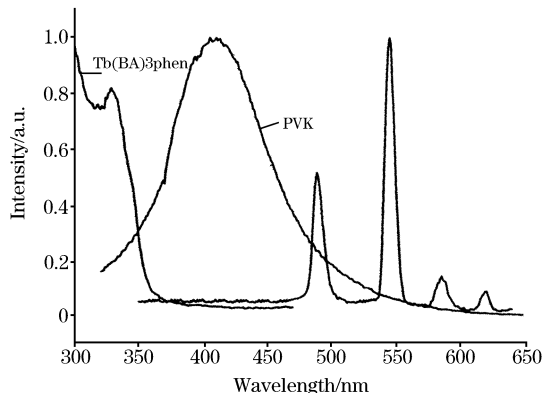


Fig. 1 Configuration of the device and the molecular structure of Tb complex

## 2 结果及讨论

图 2 为 PVK 和  $\text{Tb}(\text{BA})_3\text{phen}$  混合溶液薄膜态的光致发光光谱。左为激发光谱, 检测波长固定在 544 nm; 右为发射光谱(用 306 nm 光激发), 可见该配合物的发射光谱为 Tb 的特征锐线谱, 其发射峰位于 490, 545, 586, 620 nm, 分别归属于  $\text{Tb}^{3+}$  的  $^5D_4 \rightarrow ^5F_6$ ,  $^5D_4 \rightarrow ^5F_5$ ,  $^7D_4 \rightarrow ^5F_4$ ,  $^5D_4 \rightarrow ^7F_3$  的跃迁, 基本抑制了 PVK 的发光。

Fig. 2 Fluorescence spectrum of  $\text{Tb}(\text{BA})_3\text{phen}$ 

$\text{Tb}$  的激发来自外部, 即 PVK 与稀土配合物之间存在着能量传递。为此测量了 PVK 的发射谱和  $\text{Tb}(\text{BA})_3\text{phen}$  的激发谱, 发现在 350~400 nm 光谱存在部分重叠(见图 2), 因此铽配合物与 PVK 之间可能存在着 Förster 能量传递<sup>[8]</sup>。

将铽配合物掺杂到 PVK 中作为发光层制作有机电致发光单层器件, 通过改变甩膜机的转速制备了 3 类器件, 分别为 1 000, 1 500, 2 000  $\text{r} \cdot \text{min}^{-1}$ 。转速为 1 000  $\text{r} \cdot \text{min}^{-1}$  测得 PVK:  $\text{Tb}(\text{BA})_3\text{phen}$  层的厚度为 70 nm 器件效果最好。起亮电压为 10, 21 V 时最大亮度达到  $26.8 \text{ cd} \cdot \text{m}^{-2}$ , 其电压-亮度曲线如图 3。图 4 是在不同电压时的电致发光光谱。可以看到, 器件能够发出铽离子的特征绿色光, 而没有 PVK 的蓝紫光出现。说明在电致发光器件中, PVK 也能够有效地将能量传递给铽配合物, 器件的亮度随着电压的增大而增强。而且随电压的升高  $\text{Tb}^{3+}$  的发射也逐渐增强, 但光谱的峰

值位置没有变化, 这说明相同位置的波峰来自于同一激发态, 对应于发光强度最大、峰值波长在 545 nm 的发射来源于  $^5D_4 \rightarrow ^7F_5$  的跃迁<sup>[9]</sup>。

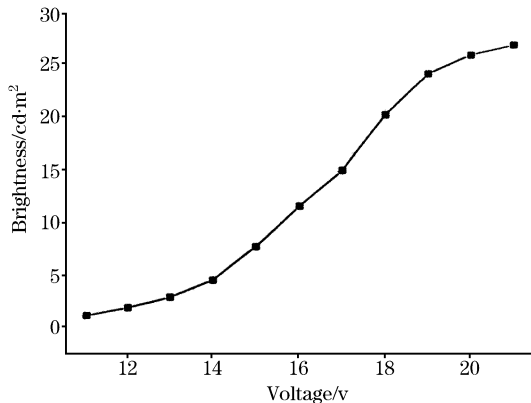


Fig. 3 Voltage-Brightness curve of device 1

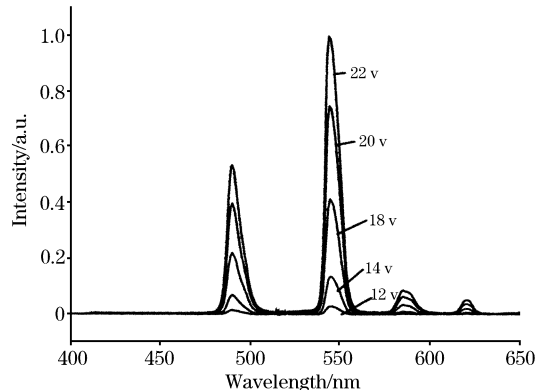


Fig. 4 Electroluminescence of device 1 at different voltage

对于双层器件, 通过改变 AlQ 的厚度(10, 13, 15, 18 nm)制得多个器件, 对比他们在 18 V 时的发射光谱(见图 5), 发现随着 AlQ 厚度的增加在约 510 nm 处形成一个越来越明显的宽带发射谱, 这个位置是 AlQ 最大发光峰值处。这是由于随 AlQ 厚度的增加而引起阴极区内和阳极区内的复合电流的变化, 其综合效果使激子复合区偏向 AlQ 一方<sup>[10]</sup>, 而导致 AlQ 的发光相对增强。AlQ 厚度为 10 nm 时

器件的发光(亮度较强、色度纯正)特性最好,为明亮、纯正的绿光发射。一般认为<sup>[11]</sup>从 PVK 注入的空穴与从 AlQ 注入的电子形成激子,由于稀土铽配合物的掺入,使激子被掺杂的客体分子俘获,导致  $\text{Tb}^{3+}$  受到激发而形成了较强的窄带发射。AlQ 厚度为 10 nm 的器件在不同电压(12, 14, 18, 20, 22 V)下的电致发光光谱如图 6 所示。可以发现,随电压的升高  $\text{Tb}^{3+}$  的发射逐渐增强,改变电压也观察不到器件在短波处的宽带发射。用 PR-650 亮度计测得此器件的亮度,同时记录工作电压和电流,做出电压-电流密度曲线和电压-亮度曲线(见图 7)。器件的起亮电压为 7 V, 在 22 V 时达到最大亮度为  $322 \text{ cd} \cdot \text{m}^{-2}$ , 最大效率在 14 V 时达到约  $0.61 \text{ cd} \cdot \text{A}^{-1}$ 。以上数据均在室温,一个大气压下测得。

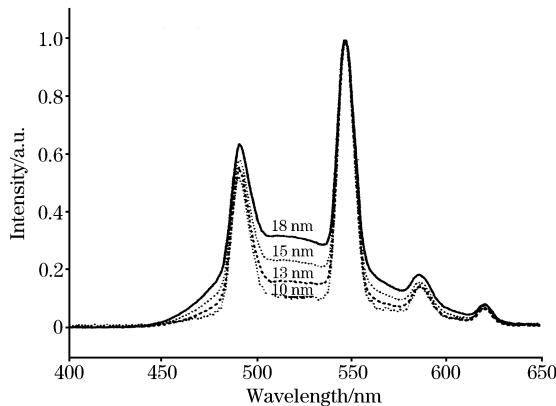


Fig. 5 Electroluminescence of device 2 with different thickness of AlQ

### 3 结 论

首次把合成的稀土铽配合物  $\text{Tb}(\text{BA})_3\text{phen}$  掺杂于 PVK 中作为发光层, 分别制得单层发光器件和以 AlQ 作为电子传输层的双层器件, 获得了明亮、纯正的绿光发射。单层器件的最大亮度在 21 V 时达到  $26.8 \text{ cd} \cdot \text{m}^{-2}$ ; 双层器件的最大

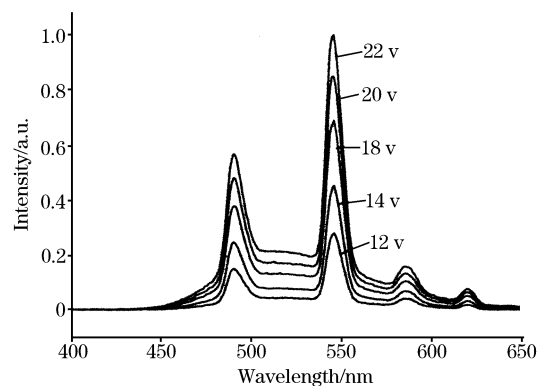


Fig. 6 Electroluminescence of device 2 at different voltage

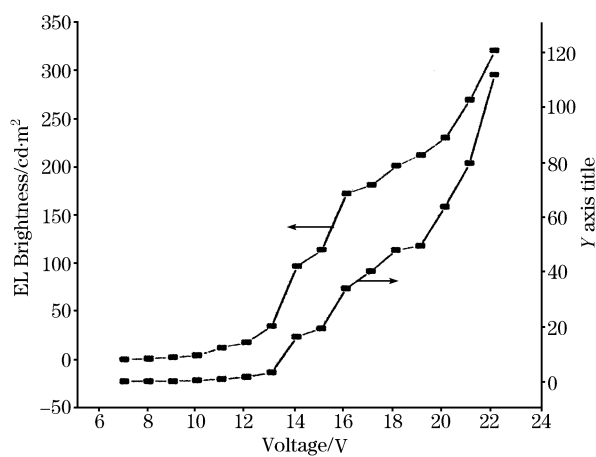


Fig. 7 Voltage-current density and voltage-Brightness curves of device 2

电致发光效率在 14 V 时达到约  $0.61 \text{ cd} \cdot \text{A}^{-1}$ , 最大发亮度在 22 V 时达到了  $322 \text{ cd} \cdot \text{m}^{-2}$ 。

本文的研究成果很有应用价值, 类似的工作亦可参阅文献[12]。

## 参 考 文 献

- [1] Tang C W, Vonslyke S A. Appl. Phys. Lett., 1987, 51: 913.
- [2] Burroughes J H, Bradley D D C, Brown A R, et al. Nature, 1990, 347: 539.
- [3] Cao Y, Parker I D, YU G, et al. Nature, 1998, 397: 414.
- [4] Friend R H, Gymer R W, Holmes A B, et al. Nature, 1999, 397: 121.
- [5] Mcgehee M D, Bergstedt T, Zhang C. Adv. Mater., 1999, 11: 1349.
- [6] Sinha A P B. Spectroscopy in Inorganic Systems(Vol. 2). New York: Academic, 1971.
- [7] DUAN Ning, ZHANG Xi-qing, GAO Xin, LIU Shu-man, XU Xu-rong, TAO Dong-liang, XU Yi-zhuang, WU Jin-guang(段 宁, 张希清, 高 新, 刘舒曼, 徐叙瑢, 陶栋梁, 徐怡庄, 吴瑾光). Spectroscopy and Spectral Analysis(光谱学与光谱分析), 2001, 21(3): 267.
- [8] Bai Feng, Deng Zhen-bo, et al. Chin. Phys. Lett., 2002, 19(20): 1884.
- [9] Wang Shuping, Wang Ruifen, Liu Cuige. Journal of Rare Earths, 2002, 20(5): 453.
- [10] YANG Sheng-yi, WANG Zhen-jia, CHEN Xiao-hong, et al(杨盛谊, 王振家, 陈晓红, 等). Acta Physica Sinica(物理学报), 2000, 49(8): 1627.
- [11] LIANG C J, LI W L, HONG Z R, et al. Synt. Meta., 1997, 91: 151.
- [12] XU Deng-hui, DENG Zhen-bo, ZHANG Zhi-feng, et al(徐登辉, 邓振波, 张志峰, 等). Spectroscopy and Spectral Analysis(光谱学与光谱分析), 2004, 24(12): 1511.

## Electroluminescent Device Based on Terbium Complex

XIAO Jing<sup>1</sup>, DENG Zhen-bo<sup>1\*</sup>, XU Deng-hui<sup>1</sup>, XU Ying<sup>1</sup>, WANG Rui-fen<sup>2</sup>

1. Institute of Optoelectronics, Key Laboratory of Information Storage and Display, Beijing Jiaotong University, Beijing 100044, China

2. Department of Chemistry, Hebei Normal University, Shijiazhuang 050091, China

**Abstract** Rare earth complex  $\text{Tb}(\text{BA})_3\text{phen}$  has been synthesized, which is used as an emitting material in electroluminescence. The properties of monolayer device with the rate of  $1\ 000\ \text{r} \cdot \text{min}^{-1}$  and the impure concentration of  $1:5$  are the best. And the highest brightness of this device reached  $26.8\ \text{cd} \cdot \text{cm}^{-2}$  at a fixed bias of  $21\ \text{V}$ . Bright green emission can be obtained from the optimized double-layer device and the highest EL brightness of the device reaches  $322\text{cd} \cdot \text{m}^{-2}$  at the voltage of  $22\ \text{V}$ .

**Keywords** Rare earth; Terbium complex; Electroluminescence

(Received May 16, 2004; accepted Sep. 26, 2004)

\* Corresponding author